

Effect of Nano-Titana in Radiotherapy: An In vivo Animal Study

Hamed Masumi¹,
 Hadi Hasanzadeh²,
 Mostafa Rezaei-Tavirani³,
 Majid Jadidi⁴,
 Alireza Nikoofar⁵,
 Reza Nasri⁶,
 Amir Darbandi-Azar⁷,
 Ahmad Bitarafan Rajabi⁸,
 Vahid Semnani⁹

¹ M.Sc. Student Research Committee and Department of Medical Physics, Semnan University of Medical Sciences, Semnan, Iran

² Assistant Professor, Cancer Research Center and Department of Medical Physics, Semnan University of Medical Sciences, Semnan, Iran

³ Professor, Proteomics Research Center, Shahid Beheshti University of Medical Sciences, Tehran, Iran

⁴ Associate Professor, Department of Medical Physics, Semnan University of Medical Sciences, Semnan, Iran

⁵ Assistant Professor, Firoozgar Hospital, Iran University of Medical Sciences, Tehran, Iran

⁶ M.Sc. in Medical Microbiology, Biotechnology Research Center, Semnan University of Medical Sciences, Semnan, Iran

⁷ D.V.M, Rajaie Cardiovascular Medical and Research Center, Iran University of Medical Sciences, Tehran, Iran

⁸ Associate Professor, Department of Nuclear Medicine, Rajaie Cardiovascular Medical and Research Center, Iran University of Medical Sciences, Tehran, Iran

⁹ Associate Professor, Kowsar Hospital, Semnan University of Medical Sciences, Semnan, Iran

(Received November 15, 2016 Accepted April 23, 2017)

Abstract

Background and purpose: Among different cancers, breast cancer has a high prevalence among women and radiotherapy is used as a treatment modality in which radio sensitizers are used to increase its efficiency. Nanoparticles are such sensitizers that enhance the efficiency of radiotherapy via creation of free radicals and induction of oxidative stress. This study aimed at evaluating the synergistic effect of radiation therapy and TiO₂ nanoparticles on animal models of breast cancer.

Materials and methods: After induction of breast adenocarcinoma tumors in Balb/C, the animals were divided into several groups as control, rutile and anatase injections at 5mg/kg and 10mg/kg doses/with and without radiotherapy. Then, the efficiency of treatment was evaluated.

Results: In groups receiving anatase nanoparticles with and without radiation, the values for tumor volume, relative volume and relative volume percentage showed a small increase and a considerable reduction, respectively. In rutile groups with and without radiation, these values showed a small increase and a considerable increase, respectively. IR value reduced to negative value and then increased to zero and positive in anatase groups with and without radiation. This parameter had little changes in rutile groups with and without radiation.

Conclusion: Titanium dioxide nanoparticles increased sensitivity of tumor cells to radiation therapy due to ROS production. Compared with rutile crystals, anatase crystals have intense effect because of having a larger surface area and higher photocatalytic activity.

Keywords: cancer, radiotherapy, radiation sensitizer, TiO₂ nanoparticle

تأثیر نانوذرات تیتانا در پرتودرمانی، یک بررسی درون کلی در مدل حیوانی

حامد معصومی¹
هادی حسن زاده²
مصطفی رضایی طاویرانی³
مجید جدیدی⁴
علیرضا نیکوفر⁵
رضا نصر⁶
امیر دربندی آذر⁷
احمد بیطرفان رجیبی⁸
وحید سمعانی⁹

چکیده

سابقه و هدف: از میان سرطان‌های مختلف، شیوع سرطان پستان در بین زنان بیش تر بوده است که یکی از روش‌های درمان آن پرتودرمانی می‌باشد و برای بالا بردن بازده آن از حساس کننده‌های پرتوی استفاده می‌شود. از جمله این حساس کننده‌ها، نانوذرات می‌باشند که با ایجاد استرس اکسیداتیو و ایجاد رادیکال‌های آزاد، اثر هم‌افزایی با تابش دارند. هدف از این مطالعه بررسی اثر هم زمان نانوذره TiO_2 و پرتودرمانی سرطان پستان در مدل حیوانی بوده است.

مواد و روش‌ها: در مطالعه تجربی حاضر پس از القای تومور آدنوکارسینومای پستان در موش Balb/C، موش‌ها به صورت تصادفی به گروه‌های کنترل، تزریق آنتاز با دوز 5 mg/kg و دوز 10 mg/kg با و بدون تابش، تزریق روتایل با دوز 5 mg/kg و 10 mg/kg با و بدون تابش 10 و تابش تقسیم‌بندی شده و روند درمان در گروه‌های مختلف با ارزیابی سایز تومور مورد بررسی قرار گرفت.

یافته‌ها: در گروه‌های نانوذره آنتاز با و بدون پرتودرمانی مقادیر حجم، حجم نسبی و درصد حجم نسبی، به ترتیب افزایش کم و کاهش قابل توجهی را نشان داد. در گروه‌های روتایل با و بدون پرتودرمانی این پارامترها به ترتیب افزایش خیلی کم و افزایش قابل توجهی داشت. IR برای گروه‌های آنتاز با و بدون پرتودرمانی کاهش و به مقدار منفی و سپس افزایش و به مقدار صفر و مثبت رسید و در گروه‌های روتایل با و بدون پرتودرمانی تغییرات کمی داشت.

استنتاج: نانوذره TiO_2 به دلیل تولید ROS سبب افزایش حساسیت پرتوی سلول‌های توموری می‌شوند. کریستال‌های آنتاز به دلیل سطح بزرگ تر، فعالیت فوتوکاتالیکی بیش تر و تولید رادیکال آزاد بیش تر نسبت به کریستال‌های روتایل موثرترند.

واژه‌های کلیدی: سرطان، پرتودرمانی، حساس کننده پرتویی، نانوذره TiO_2

مقدمه

سرطان یکی از علل عمده مرگ و میر در سراسر جهان است (1). 14/1 میلیون موارد جدید سرطان و 8/2 میلیون مرگ ناشی از سرطان در سال 2012 در جهان اتفاق افتاده است. سرطان پستان بیش ترین سرطان

مؤلف مسئول: هادی حسن زاده - سنجان، مرکز تحقیقات سرطان و دیارتمان فیزیک پزشکی، دانشگاه علوم پزشکی سنجان، سنجان، ایران

1. دانشجوی کارشناسی ارشد، کمیته تحقیقات دانشجویی و دیارتمان فیزیک پزشکی، دانشگاه علوم پزشکی سنجان، سنجان، ایران
 2. استادیار، مرکز تحقیقات سرطان و دیارتمان فیزیک پزشکی، دانشگاه علوم پزشکی سنجان، سنجان، ایران
 3. استاد، مرکز تحقیقات پرتو میکس، دانشگاه علوم پزشکی شهید بهشتی، تهران، ایران
 4. دانشیار، دیارتمان فیزیک پزشکی، دانشگاه علوم پزشکی سنجان، سنجان، ایران
 5. استادیار، مرکز آموزشی، پژوهشی، درمانی فیزیک پزشکی، دانشگاه علوم پزشکی تهران، تهران، ایران
 6. کارشناس ارشد میکروبیولوژی پزشکی، مرکز تحقیقات بیوتکنولوژی، دانشگاه علوم پزشکی سنجان، سنجان، ایران
 7. دامپزشک، مرکز آموزشی، پژوهشی، درمانی قلب شهید رجایی، دانشگاه علوم پزشکی تهران، تهران، ایران
 8. دانشیار، مرکز تحقیقات مداخلات قلبی و عروقی و بخش پزشکی هسته‌ای، مرکز آموزشی، پژوهشی، درمانی قلب شهید رجایی، دانشگاه علوم پزشکی تهران، تهران، ایران
 9. دانشیار، مرکز آموزشی، پژوهشی، درمانی کورتر، دانشگاه علوم پزشکی سنجان، سنجان، ایران
- تاریخ دریافت: 1395/8/25 تاریخ ارجاع جهت اصلاحات: 1395/8/26 تاریخ مصوب: 1396/2/3

تشخیص داده شده و یکی از عوامل مرگ و میر سرطان در میان زنان سراسر دنیاست. 1/7 میلیون مورد سرطان پستان و 521900 مرگ و میر ناشی از سرطان پستان در سال 2012 تخمین زده شد و با این تخمین، سرطان پستان 25 درصد از همه موارد سرطان و 15 درصد از مرگ و میر سرطان در میان زنان را شامل می‌شود (2). در ایالات متحده 29 درصد از موارد جدید سرطان و 14 درصد از مرگ و میرهای ناشی از آن در اثر ابتلا به سرطان پستان در میان زنان در سال 2016 می‌باشد (3). شایع ترین سرطان در بین زنان ایرانی سرطان پستان است که 22 درصد از کل سرطان‌ها را شامل شده و 70 درصد از بیماران مبتلا به سرطان پستان به علت پیشرفته بودن بیماری در زمان تشخیص، در مدت کوتاهی فوت می‌کنند (4، 5). پرتودرمانی به عنوان یک روش اصلی در درمان سرطان‌های مختلف مطرح بوده و یکی از روش‌های کم‌تهاجم درمان سرطان پستان می‌باشد. در این روش پتانسیل درمانی به حداکثر رسیده، در حالی که آسیب به بافت‌های سالم و حیاتی اطراف به حداقل خود می‌رسد (6-9). پروفایل اثرات جانبی تابش یونیزان در پرتودرمانی سرطان پستان به‌طور کلی شناخته شده می‌باشد. این اثرات شامل تغییرات گسترده پوستی (ادم، اریتم و تغییرات رنگدانه‌ای)، پنومونی، پلوریت، نقایص پرفیوژن قلبی و لنفوادهما است (10). به منظور بهینه کردن پرتودرمانی، موادی که سبب افزایش مقاومت بافت سالم یا حساسیت پرتویی بیش‌تر بافت تومورال می‌شوند، استفاده می‌شود (11-13). حساس‌کننده‌ها موادی هستند که تولید رادیکال‌های آزاد به خصوص ROS ناموده و مطالعات بسیاری روی مواد مختلف برای معرفی آن‌ها به عنوان حساس‌کننده انجام شده است (14). نانوذرات به ویژه نانوذرات فلزی و اکسید فلزی در مقیاس گسترده‌ای توسط مصرف‌کنندگان و تولیدکنندگان پزشکی به کار رفته است. با این حال، این رشد مصرف سبب آزاد شدن آن در محیط اطراف و افزایش این نانوذرات در نزدیکی محیط زندگی انسان

شده و سمیت این نانوذرات فلزی و اکسید فلزی برای ارگان‌های بدن انسان را به دنبال خواهد داشت. بنابراین جامعه علمی درصدد فهم مکانیسم ایجاد آثار سمیت این نانوذرات و کنترل و کاربرد مفید آن‌ها در درمان‌های پزشکی به‌خصوص درمان سرطان‌ها با و بدون حضور دیگر فاکتورها را دارد (15، 16). مکانیسم ایجاد سمیت توسط نانوذرات، تولید گونه فعال اکسیژن (ROS) است. تولید بیش از حد گونه فعال اکسیژن می‌تواند استرس اکسیداتیو، اختلال در عملکرد حفظ فیزیولوژیکی نرمال تنظیم اکسیداسیون شود. این اثرات به نوبه خود منجر به آسیب DNA، مسیرهای سیگنالینگ سلولی تنظیم نشده، تغییر در تکامل سلولی، سمیت سلولی، مرگ آپوپتوزی و شروع مرگ سلول می‌شود. عوامل بحرانی -قطعی می‌تواند در تولید گونه فعال اکسیژن تاثیر بگذارد. این عوامل بحرانی -قطعی شامل شکل، اندازه، مساحت سطحی نانوذره، میزان بارالکتریکی سطح ذره، گروه‌های شامل کننده سطح، حلالیت ذره، انتشار یون فلزی از نانو مواد و نانوفلزها، فعال‌سازی نوری، مدل واکنش‌ها با سلول، اثرات انتهایی و pH محیط می‌باشند (17). نانوذرات فلزی و اکسیدهای نانوذرات فلزی به دلیل خاصیت اپتیکی ناشی از مساحت فعال زیاد و عدد اتمی بالا باعث تقویت اثر فوتوالکتریک و کامپتون (دونوع برهم‌کنش اشعه ایکس و گاما با محیط جاذب در محدوده تشخیصی و درمانی) می‌شوند (18) که در نتیجه می‌تواند سبب توسعه روش‌هایی برای نابودی سلول‌های تومورال و کاهش بقای آن‌ها همراه با کم‌ترین اثر جانبی، در پرتودرمانی شوند (19). TiO_2 نیز به عنوان یک ماده سازگار با بدن شناخته شده که در ابعاد نانو باعث ایجاد مقداری اثر انتهایی می‌شود و این فرض را که ذرات در ابعاد نانو دارای ویژگی‌های متفاوتی هستند تأیید می‌نماید (12، 13، 20). دلایلی نشان می‌دهد که $Nano-TiO_2$ باعث تشکیل H_2O_2 و رادیکال آزاد هیدروکسیل شده که باعث ایجاد سمیت در سلول‌های مختلف پستانداران می‌شود (12، 21).

دو شکل کریستالی آناتاز و روتایل نانوذره دی اکسید تیتانیوم با ورود به درون سلول و ترکیب برهم کنشی مستقیم با پروتئین‌ها و DNA منجر به سمیت سلولی می‌شود. مکانیسم این اثر افزایش تولید گونه فعال اکسیژن است. سطح تولید آن به گونه‌ای است که دفاع آنتی اکسیدانی سلول به ویژه در سلول‌های سرطانی را می‌شکند و سبب القای مکانیسم مرگ آپوپتوز می‌شود (12، 13، 22). دی اکسید تیتانیوم هم چنین برای از بین بردن سلول‌های سرطانی بر پایه شیمی فوتوکاتالیکی مفید می‌باشد. این مکانیسم فعال شامل تولید گونه فعال اکسیژن بیش تر تحت تابش اشعه فرابنفش (UV) است. اما بازده کاربرد ترکیبی تابش فرابنفش با نانوذرات دی اکسید تیتانیوم به دلیل نفوذ کم این تابش در بافت، بسیار پایین است. بر همین اساس نانوذرات TiO_2 که به تنهایی یا بهینه شده همراه با گادولینیوم و سایر عناصر نادر خاکی توسط تابش اشعه ایکس تهییج شده و در اثر واکنش فوتوکاتالیکی سطح بیش تری از رادیکال گونه فعال اکسیژن (ROS) و رادیکال هیدروکسیل (OH) را تولید و سبب ایجاد حساسیت پرتویی سلول سرطانی می‌شود (18). لذا در این مطالعه با توجه به مطالعات قبلی (12، 13)، در زمینه حساس‌کنندگی پرتوی این نانوذره در شرایط *in vitro* روی رده‌های سلولی مختلف بالاخص رده سلولی سرطان پستان، میزان حساسیت پرتوی القاء شده در مدل حیوانی سرطانی که موش *inbred balb/c* حامل تومور آدنوکارسینوما پستان تحت تابش دوز 200 cGy از فوتون‌های 6 MV شتابدهنده خطی می‌باشد، بررسی شده تا در نهایت بتوان با دوزهای کم تر پرتو در پرتودرمانی سرطان پستان به بازده درمانی مشابهی با دوزهای پرتویی معمول دست پیدا نمود.

مواد و روش‌ها

مطالعه حاضر به روش تجربی انجام شده است.

القای تومور

در این مرحله از کار با آماده بودن حیوانات دهنده حامل بافت تومور آدنوکارسینوما پستان که موش‌های ماده *in bred Balb/C* تا 6 هفته‌ای بودند و به صورت خودبه خود مبتلا شده بودند، موش‌های ماده *in bred Balb/C* 4 تا 6 هفته‌ای گیرنده پیوند که به مدت 7 تا 10 روز برای عادت به شرایط جدید در آزمایشگاه حیوانی نگهداری شده بودند و به وزن تقریبی 20 گرم رسیده بودند برای پیوند به آزمایشگاه منتقل گردیدند. کلیه تجهیزات جراحی در دستگاه اتوکلاو استریل شدند. برای شروع پیوند پس از کشتن حیوان دهنده پیوند و استخراج بافت توموری آن، کلیه زواید بافت جدا شده و بافت دوبار در محلول PBS استریل شست و شو گردید. برای کاهش آسیب در طول برش با استفاده از تیغ جراحی و با حرکت درجا و فشاری آن، بافت تومور آدنوکارسینوما پستان به قطعات یکسان با قطر 2 تا 3 میلی متر تقسیم گردید. سپس حیوان گیرنده پیوند با تزریق داروی بی‌هوشی (0/5 سی سی زایلازین با 1 سی سی کتامین مخلوط شده و با افزودن آب مقطر، حجم محلول به 10 سی سی رسید. برای بی‌هوشی حیوان‌ها به ازای هر گرم وزن حیوان مقدار 10 ul از محلول فوق به حیوان تزریق شد که پس از حدود 3 تا 5 دقیقه حیوان بی‌هوش شده و به مدت تقریبی 30 تا 45 دقیقه بی‌هوش می‌ماند، بی‌هوش شده و با استفاده از الکل 70 درصد ناحیه پیوند عاری از آلودگی شده و استریل شد. سپس ناحیه کنار عضله پای حیوان باز شده و یک قطعه از بافت تومور تازه برش زده شده زیر پوست حیوان قرار گرفته و محل پیوند توسط کلیپس بخیه بسته شد (23، 24). در دو روز اول پس از پیوند آنتی‌بیوتیک در آب حیوان‌ها ریخته شد تا از احتمال بروز عفونت‌های ثانویه کاسته شود. هر دو روز یکبار حیوان‌ها مورد ارزیابی قرار گرفتند تا تومور به سایز مورد نظر برای شروع درمان (قطر 7 تا 10 میلی متر) برسند (تصویر شماره 1).

برای تابش دهی حیوان‌هایی که تومور آدنوکارسینومای پستان به آن‌ها القاء گردیده بود پس از رسیدن به سایز مطلوب و تزریق نانو ذره تیتانیوم اکسید، از دستگاه شتاب دهنده خطی 6 MV (مدل Elekta Compact) که برای مقاصد درمانی در بخش پرتودرمانی بیمارستان فیروزگر مستقر بود، استفاده گردید. برای تابش دهی از دوز 200 cGy با یک میدان $10 \times 10 \text{ cm}^2$ و تکنیک استاتیک و آهنک دوز واقعی 196 MU/min با $\text{SSD}=100 \text{ cm}$ شتاب دهنده خطی استفاده شد. برای هر بار تابش دهی، سه موش در محفظه ثابت کننده مخصوص تابش دهی قرار گرفتند (تصویر شماره 3).



تصویر شماره 3: تابش دهی گروه های درمانی با فیکس کردن حیوانات در میدان 10×10 شتاب دهنده خطی 6 MV Elekta Compact

اندازه گیری

برای ارزیابی تاثیر درمان بر رشد تومور، طول (a)، عرض (b) و عمق (d) برای هر موش اندازه گیری می شود و اندازه گیری قطر تومورها به سبیله کولیس دیجیتال (25) با دقت $0/01$ میلی متر به مدت یک ماه هر سه روز یکبار صورت می گیرد (تصویر شماره 4). در نهایت حجم تومور (V) که شکلی نزدیک به یک بیضی گون دارد از رابطه 1 محاسبه شد (26):

$$V = \frac{4}{3} \pi \left[\left(\frac{a}{2} \right) * \left(\frac{b}{2} \right) * \left(\frac{c}{2} \right) \right] \quad \text{رابطه 1}$$

در رابطه فوق a، b و c اقطار اندازه گیری شده تومور در سه راستای عمود بر هم هستند. شایان ذکر



تصویر شماره 1: مراحل القای تومور آدنوکارسینومای پستان از موش Balb/C منشا تومور به موش های گیرنده تومور

تزریق به حیوانات

پس از گذشت 12 روز از القای تومور و رسیدن به سایز مطلوب، حیوان‌ها به صورت تصادفی در 10 گروه و در هر گروه 7 راس موش in bred Balb/C تقسیم بندی شدند. گروه‌های درمانی شامل کنترل، تزریق آنتاژ با دوز 5 mg/kg، تزریق آنتاژ با دوز 10 mg/kg، تزریق روتایل با دوز 5 mg/kg، تزریق آنتاژ با دوز 5 mg/kg، پرتودرمانی با دوز 200 سانتی گری، تزریق آنتاژ با دوز 5 mg/kg و 200 سانتی گری پرتو، تزریق آنتاژ با دوز 10 mg/kg و 200 سانتی گری پرتو، تزریق روتایل با دوز 5 mg/kg و 200 سانتی گری پرتو و تزریق روتایل با دوز 5 mg/kg و 200 سانتی گری پرتو بودند. (تصویر شماره 2) به گروه کنترل تزریق هیچ ماده‌ای صورت نگرفت تا تاثیر عوامل خارجی در نظر گرفته شوند و از مطالعه حذف شوند.



تصویر شماره 2: تزریق کریستال آنتاژ و روتایل از نانو ذرات TiO_2 به حیوانات گروه های مورد مطالعه

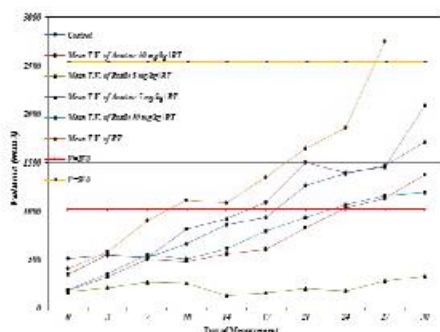
تابش دهی حیوانات

گروه‌های مورد مطالعه را نشان می‌دهد که معیاری برای سنجش سرعت افزایش حجم تومور در گروه‌های مختلف و میزان موثر بودن یا عدم موثر بودن درمان است. نمودارهای مربوط به گروه‌های دریافت کننده غلظت‌های مختلف دو نوع کریستال نانوذره TiO_2 با و بدون تابش جهت ارزیابی روند درمان مورد مقایسه قرار خواهند گرفت.

یافته‌ها

پس از تزریق داخل صفاقی محلول‌های حاوی کریستال‌های آنتاز و روتایل نانوذره دی‌اکسید تیتانیوم به گروه‌های مورد مطالعه و تابش دهی گروه‌های مدنظر، با ارزیابی‌های صورت گرفته روی گروه‌های موردنظر یافته‌های مطالعه به شرح ذیل می‌باشد:

کریستال آنتاز از نانوذره دی‌اکسید تیتانیوم ارزیابی حجم تومورها (نمودار شماره 1) در گروه آنتاز با غلظت 10mg/kg به همراه تابش، شیب افزایش حجم تومور در مقایسه با گروه‌های کنترل و گروه درمانی با تابش از مقدار کم تری برخوردار است. نکته جالب توجه، توقف رشد تومور در گروه آنتاز 10mg/kg به همراه تابش تا روز هفدهم پس از شروع درمان می‌باشد.



نمودار شماره 1: تغییرات حجم در گروه های آنتاز با تابش با دوزهای 5mg/kg و 10mg/kg ، تابش تنها، کنترل و روتایل با تابش و دوزهای 5mg/kg و 10mg/kg به همراه منحنی های دو و پنج برابر حجم اولیه

است علاوه بر بررسی روند رشد و افزایش حجم تومور، برای بررسی اثرات درمانی و هم افزایی نانوذرات تیتانیا با تابش، از سه پارامتر میانگین درصد تغییرات نسبی حجم تومور ($\frac{\Delta V}{V_0}$) (رابطه 2)، میانگین تغییرات نسبی حجم تومور ($\frac{V}{V_0}$)، و درصد توقف رشد تومور (Inhibition Ratio) (رابطه 3) استفاده می‌شود (23، 24). روش محاسبه پارامترهای مذکور به شرح ذیل می‌باشد:

$$\text{رابطه 2} \quad \text{نسبیرات نسبی حجم تومور} = \frac{\Delta V}{V_0} = \frac{V - V_0}{V_0} \times 100$$

در رابطه فوق درصد تغییرات نسبی حجم تومور براساس حجم تومور در روز اول اندازه گیری (V_0) و حجم تومور در روز خاص اندازه گیری (V) برای هر راس موش محاسبه شد و سپس مقدار $\frac{\Delta V}{V_0}$ برای آن روز خاص اندازه گیری در گروه مربوطه میانگین گیری خواهد شد.



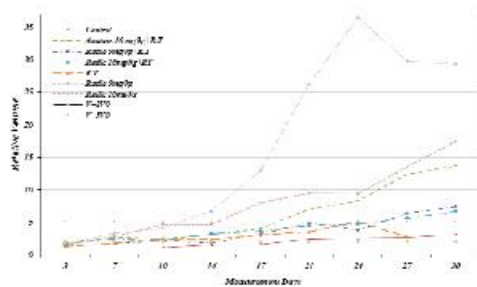
تصویر شماره 4: اندازه گیری تومور با کولیس دیجیتال در سه راستای عمود برهم برای به دست آوردن حجم تومور هر حیوان

$$\text{رابطه 3} \quad \text{درصد توقف رشد تومور} = IR = \frac{V_0 - V}{V_0} \times 100$$

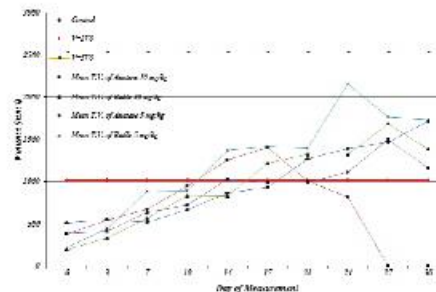
در رابطه فوق V میانگین حجم تومور گروه کنترل در یک روز خاص و V_0 میانگین حجم گروه مورد نظر در همان روز خاص است. هم چنین نمودار تغییرات نسبی حجم تومور ($\frac{V}{V_0}$) و حجم تومورها برای گروه‌های مختلف در روزهای اندازه گیری به همراه نمودارهای $V=2V_0$ و $V=5V_0$ رسم گردید. این حجم‌ها زمان دوبرابر شدن و پنج برابر شدن حجم تومور در

در گروه درمانی آاناتاز با غلظت 5mg/kg به همراه تابش روند افزایش رشد تومور نسبت به گروه کنترل از شیب بیش تری برخوردار بوده که البته با تغییراتی در روزهای مختلف همراه می‌باشد، هر چند در مقایسه با گروه‌های درمانی با تابش به‌تنهایی روند رشد کندتر شده است. در رابطه با گروه درمانی با تابش نیز مشاهده می‌شود که روند رشد نسبت به گروه کنترل تسریع یافته که می‌تواند به دلیل از بین رفتن لایه خارجی تومور جامد در اثر تک‌دوز اعمال شده و تا حدودی کنترل رشد تا روز 14ام پس از شروع درمان و سپس تحرک مجدد تومور و رشد سرعت یافته آن تا پایان بررسی حجم تومور باشد که بایستی مطالعات تکمیلی بقاء و پاتولوژی در این خصوص صورت پذیرد. از نظر سرعت رشد تومور، زمان دو برابر شدن حجم تومور در گروه با غلظت 5 mg/kg آاناتاز با تابش روز 13ام اندازه‌گیری و برای گروه با غلظت 10 mg/kg با تابش روز 23ام اندازه‌گیری بود. در حالی که در دو گروه حجم تومور در مقایسه با گروه تابش تنها در مدت زمان یک‌ماهه بررسی حجم تومور، به پنج برابر حجم اولیه افزایش نیافت بر اساس نمودار حجم تومور (نمودار شماره 2).

گردید. هم چنین در این گروه زمان رسیدن حجم تومور به دو برابر حجم اولیه در روزهای 9ام و 23ام اندازه‌گیری اتفاق افتاد و از روز 27ام حجم تومور به صفر رسید (تومور محو گردید 9). برای گروه آاناتاز با غلظت 5 mg/kg بدون تابش، حجم تومور در فاصله روزهای 13ام تا 21ام در حدود دو برابر حجم اولیه ثابت مانده و پس از آن حجم تومور سیری نزولی به خود گرفت. در هیچ یک از گروه‌های بدون تابش حجم تومور به پنج برابر حجم اولیه نرسید. در نمودار تغییرات حجم نسبی تومور (نمودار شماره 3)، برای گروه آاناتاز با غلظت 10mg/kg همراه با تابش یک افزایش در حجم نسبی تومور در مقایسه با گروه کنترل ایجاد شد اما این روند افزایشی در مقایسه با گروه تابش، آهسته بود.



نمودار شماره 3: تغییرات نسبی حجم تومور در گروه های روتابل با و بدون تابش با غلظت های 5 و 10، گروه آاناتاز با تابش با غلظت 10mg/kg، گروه های تابش و کنترل و حجم نسبی دو و پنج برابر حجم اولیه

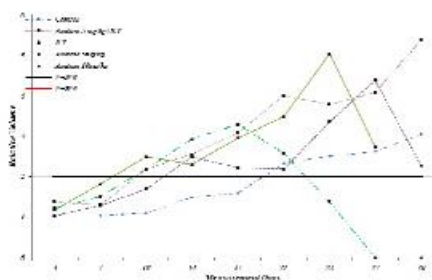


نمودار شماره 2: تغییرات حجم در گروه های آاناتاز بدون تابش و روتابل بدون تابش با دوزهای 5 و 10 به همراه منحنی های دو و پنج برابر حجم اولیه

روزهای 4م و 16ام اندازه‌گیری حجم نسبی تومور به ترتیب به مقدار دو و پنج برابر حجم اولیه رسید. در گروه آاناتاز با غلظت 5 mg/kg با تابش (نمودار شماره 4)، حجم نسبی تومور با یک شیب ملایم در مقایسه با گروه تابش تنها افزایش داشت. در این گروه یک حجم نسبی تومور بالا از روز ابتدای اندازه‌گیری در مقایسه با گروه کنترل وجود داشت. در روزهای 8ام و 28ام اندازه‌گیری، حجم نسبی تومور به ترتیب دو و پنج برابر حجم اولیه گردید. حجم نسبی تومور در گروه‌های

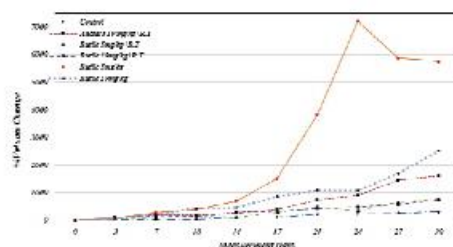
در گروه آاناتاز با غلظت 10 mg/kg بدون تابش، ابتدا یک افزایش در حجم تومور پدید آمد و سپس از روز 16ام اندازه‌گیری کاهش در حجم تومور پدیدار

آناناز با غلظت‌های 5 mg/kg و 10 mg/kg بدون تابش، حجم نسبی ابتدا یک روند افزایشی و سپس یک روند کاهشی داشت به طوری که در گروه آناناز 10 mg/kg بدون تابش به مقدار صفر رسید. برای گروه آناناز با غلظت 5 mg/kg بدون تابش زمان دوبرابر شدن حجم نسبی روز 10ام اندازه گیری بود.



نمودار شماره 4: تغییرات نسبی حجم تومور در گروه های آناناز بدون تابش با غلظت های 5 mg/kg و 10، گروه آناناز با تابش با غلظت 5 mg/kg، گروه های تابش و کنترل و حجم نسبی دو و پنج برابر حجم اولیه

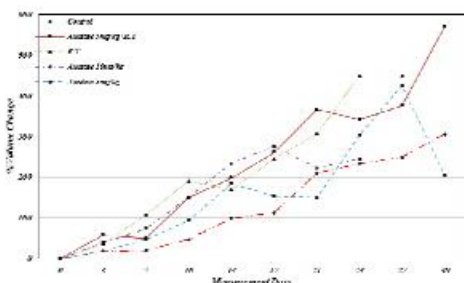
در نمودار درصد تغییرات حجم نسبی، درصد حجم نسبی تومور در گروه آناناز با غلظت 10 mg/kg (نمودار شماره 5) همراه با تابش، در مقایسه با گروه درمانی تابش (نمودار شماره 6) و گروه کنترل افزایش داشت.



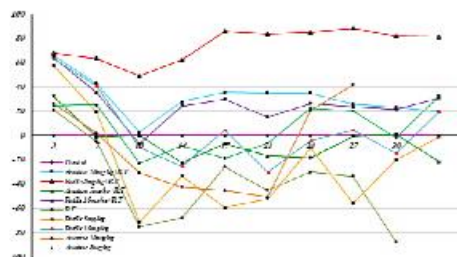
نمودار شماره 5: درصد تغییرات نسبی حجم تومور در گروه های روتایل با و بدون تابش با غلظت های 5 mg/kg و 10، گروه آناناز با تابش با غلظت 10 mg/kg، گروه های تابش و کنترل

درصد نسبی حجم تومور در گروه آناناز با غلظت 5 mg/kg در مقایسه با گروه کنترل و تابش به آهستگی

افزایش یافت. نمودار شماره 6 مویید یک افزایش در درصد نسبی حجم تومور و سپس یک کاهش در این مقدار در گروه بدون تابش آناناز با غلظت 10 mg/kg بود درحالی که در گروه آناناز با غلظت 5 mg/kg (نمودار شماره 6) یک تغییر نوسانی در درصد نسبی حجم تومور در مقایسه با گروه کنترل و تابش مشاهده شد. نمودار شماره 7 که نشان دهنده درصد توقف رشد تومور (Inhibition Ratio) می باشد از رابطه 3 به دست آمده است.



نمودار شماره 6: درصد تغییرات نسبی حجم تومور در گروه های آناناز با و بدون تابش با غلظت های 5 mg/kg و 10، گروه آناناز با تابش با غلظت 5 mg/kg، گروه های تابش و کنترل



نمودار شماره 7: درصد توقف در رشد تومور (IR) برای تمامی گروه های مورد مطالعه

این پارامتر بیان گر موفقیت و یا عدم موفقیت روند درمان است. با توجه به این موضوع، مقدار IR برای گروه آناناز با غلظت 10 mg/kg با تابش مثبت بود و در ابتدا یک کاهش متوسط و سپس افزایش تقریباً آهسته و ثابتی پیدا کرد. برای گروه آناناز با غلظت 5 mg/kg با تابش مقدار IR در ابتدا مثبت و سپس کاهش یافته و

18ام و 24ام اندازه‌گیری است. برای گروه‌های روتایل بدون تابش یا غلظت 5 و 10 mg/kg افزایش قابل توجهی در حجم نسبی تومور در مقایسه با گروه کنترل و درمانی تابش بر اساس نمودار شماره 3 مشاهده می‌شود. زمان دو برابر و پنج برابر شدن برای گروه بدون تابش روتایل با غلظت 10 mg/kg به ترتیب روزهای 3ام و 13ام اندازه‌گیری و برای گروه بدون تابش روتال با غلظت 5 mg/kg زمان دو برابر و پنج برابر شدن حجم تومور به ترتیب روزهای 2ام و 10ام اندازه‌گیری است. در نمودار درصد تغییرات نسبی حجم تومور (نمودار شماره 5)، درصد حجم نسبی برای دو گروه با تابش روتایل با غلظت‌های 5 و 10 mg/kg مقدار درصد حجم نسبی تومور در مقایسه با گروه‌های کنترل و تابش، یک افزایش آهسته و کم را نشان داد در حالی که برای گروه‌های بدون تابش روتایل با غلظت‌های 5 و 10 mg/kg در مقایسه با گروه کنترل و درمانی با تابش تنها یک افزایش قابل توجه در مقدار درصد حجم نسبی تومور مشاهده شد.

در نمودار درصد توقف رشد تومور (نمودار شماره 7)، مقدار پارامتر IR برای دو گروه با تابش روتایل با غلظت‌های 5 و 10 mg/kg مثبت و یک کاهش و افزایش نسبتاً کم و ثابتی داشت. مقدار IR برای گروه بدون تابش روتایل با غلظت 10 mg/kg ابتدا مثبت و سپس روند نزولی و مقدار آن منفی و در نهایت افزایش و در جهت مثبت محور عمودی می‌شود. برای گروه روتایل بدون تابش با غلظت 5 mg/kg مقدار IR ابتدا مثبت و سپس در روزهای پسین کاهش و منفی در جهت محور عمودی و سپس به نزدیکی صفر افزایش می‌یابد.

بحث

فناوری نانو در علوم مختلف شامل داروسازی، زیست فناوری، دستگاه‌های پزشکی، تشخیص بیماری‌ها و ناهنجاری‌ها، ژن درمانی، تحویل دارو، مهندسی بافت، رباتیک، محیط زیست و الکترونیک کاربرد دارد (27).

مقدار این پارامتر منفی شد. برای گروه آنتاز بدون تابش با غلظت 10 mg/kg مقدار IR در ابتدا مثبت و سپس در روزهای پسین اندازه‌گیری به مقدار منفی و سپس مثبت و در نهایت به مقدار صفر رسید. مقدار IR برای گروه آنتاز بدون تابش با غلظت 5 mg/kg در ابتدا مقدار این پارامتر مثبت و سپس در روزهای بعدی اندازه‌گیری کاهش و به مقدار منفی و در نهایت به مقدار مثبت رسید.

کریستال روتایل از نانوذره دی اکسید تیتانیوم

بر اساس نمودار شماره 1 حجم تومور در گروه روتایل با تابش با غلظت 10 mg/kg یک افزایش حجم تومور متوسط در مقایسه با گروه کنترل و افزایش آهسته در مقایسه با گروه تابش داشت. زمان دو برابر شدن حجم تومور در این گروه روز 21ام اندازه‌گیری بود. برای گروه با تابش روتایل با غلظت 5 mg/kg طبق نمودار شماره 1 حجم تومور افزایشی ملایم و آهسته در مقایسه با گروه کنترل و درمانی تابش نشان داد که هرگز حجم تومور در این گروه به 2 و 5 برابر حجم اولیه نرسید. نمودار شماره 2 برای دو گروه روتایل با تابش با غلظت‌های 5 و 10 mg/kg یک افزایش قابل توجه و زیاد در حجم تومور در مقایسه با گروه کنترل نشان داد. زمان دو برابر شدن حجم تومور برای این دو گروه به ترتیب روز 14ام و 9ام اندازه‌گیری بود. بر اساس نمودار شماره 3 در گروه با تابش روتایل با غلظت 10 mg/kg، یک افزایش کند در مقدار حجم نسبی تومور در مقایسه و مشابه با گروه کنترل و گروه تابش به دست آمد. زمان دو برابر شدن و پنج برابر شدن حجم نسبی تومور در این گروه به ترتیب روزهای 4ام و 23ام اندازه‌گیری بود. برای گروه با تابش روتایل با غلظت 5 mg/kg افزایش حجم نسبی تومور مشابه و در مقایسه با گروه کنترل و تابش قابل توجه نبود. زمان دو برابر شدن حجم تومور در این گروه روز 5ام تا 12ام اندازه‌گیری و زمان پنج برابر شدن حجم تومور روزهای

در حیطه پزشکی فناوری نانو و کاربردهای آن در تشخیص و درمان سرطان‌ها است که سبب پیشرفت درمان و تصویربرداری تشخیصی سرطان می‌شود (28). دی اکسید تیتانیوم یک اکسید فلزی - معدنی به صورت نانوسیلیکات طبیعی است که در شکل‌های آناتاز، روتایل و بروکیت به طور گسترده‌ای در داروسازی، سرمایه‌ها و به دلیل ایجاد سمیت سلولی با تولید گونه فعال اکسیژن (ROS) و فعالیت فوتوکاتالیکی و ویژگی‌های شیمیایی در پژوهش‌های درمان و تشخیص سرطان کاربرد دارد (29). هر دو کریستال آناتاز و روتایل یک ساختار کریستالی چهارضلعی هستند که فعالیت فوتوکاتالیکی قابل توجهی دارند که فرم آناتاز فعالیت فوتوکاتالیکی بیش تری در مقایسه با فرم روتایل دارد (30). نانوذره دی اکسید تیتانیوم در محیط سلولی با مولکول‌های آب واکنش داده و با فرآیند گیراندازی الکترونی، رادیکال آزاد هیدروکسیل (OH) و گونه فعال اکسیژن (ROS) تولید می‌کند. کریستال آناتاز در میتوکندری سلول‌ها تجمع یافته و باعث ایجاد اختلال در زنجیره الکترونی و آسیب به فعالیت میتوکندری می‌شود در حالی که کریستال روتایل در سلول‌ها پراکنده شده و وارد ساختمان میتوکندری نمی‌شود (22). در بررسی پاسخ سلولی نسبت به دزهای مختلف این ماده نتایج متفاوتی وجود دارد. در برخی مطالعات نشان داده شده که در غلظت‌های TiO_2 در گستره $5-200 \mu g/ml$ که 12 تا 72 ساعت در معرض سلول قرار گرفته است هیچ اثر سمی دیده نشده است (20، 31، 32)؛ اما در غلظت‌های بالاتر، نانوذره سمیت بیش تری در مقایسه با غلظت‌های پایین دارد که در صورت کاربرد هم زمان نانوذره دی اکسید تیتانیوم همراه با تابش‌های گاما، با توجه به تجمع غیرفعال نانوذره در سلول‌های تومورال به دلیل آنژیوژنز بالا اثری هم افزایی خواهد داشت (33). مطالعات تأثیر به کارگیری هم‌زمان این نانوذرات با تابش فرابنفش نوع A با طول موج 350 نانومتر را مورد بررسی قرار داده‌اند که نمونه آن، درمان فوتودینامیک با استفاده از ویژگی

نوری نانوذره دی اکسید تیتانیوم است. البته عمق نفوذ تابش‌های در بافت کم می‌باشد (34، 35). از اثرات هم‌زمان تابش‌های یون‌ساز به همراه دو فرم کریستال آناتاز و روتایل نانوذره دی اکسید تیتانیوم به مطالعه رضایی و همکاران روی رده‌های سلولی سرطان پستان و سرطان معده اشاره کرد (13).

یافته‌های این مطالعه نشان داد که نانوذرات TiO_2 در حضور تابش پرتوهای فوتونی حاصل از شتاب دهنده 6 MV میزان سمیت سلول‌های تومورال را افزایش داده و روند درمان تومور آدنوکارسینوما پستان را بهبود بخشید. این بهبود درمان به نوع کریستال نانوذره وابسته بوده است. براساس یافته‌های مطالعه میزان سه پارامتر حجم، حجم نسبی و درصد حجم نسبی در حضور کریستال آناتاز نانوذره دی اکسید تیتانیوم و تابش به صورت کند و با آهنگ آهسته افزایش یافت و حتی میزان این سه پارامتر در حضور و عدم حضور تابش برای این نوع کریستال نانوذره کاهش یافت. میزان پارامتر IR برای این نوع کریستال نانوذره بیش تر و حتی در گروه‌های با و بدون تابش مثبت بود که نشان از موفقیت روند درمان در حضور این نانوذره و تجمع آن در تومور آدنوکارسینوما پستان بود، زیرا افزایش میزان پارامتر IR پس از کاهش آن برای این نوع کریستال، مؤثر بودن روند درمان با این نانو کریستال آناتاز را نشان می‌دهد. میزان کاهش و یا افزایش آهسته در این سه پارامتر در غلظت $10 mg/kg$ از نانوذره آناتاز بیش تر از غلظت $5 mg/kg$ بود. براساس مطالب و مطالعاتی که بیان شد این موضوع می‌تواند ناشی از تجمع کریستال آناتاز نانوذرات در داخل میتوکندری سلول‌ها و ایجاد آسیب در فعالیت‌های میتوکندری و هم‌چنین تولید گونه فعال اکسیژن (ROS) و آسیب به DNA و هسته سلول باشد. در مورد کریستال روتایل از نانوذره TiO_2 سه پارامتر حجم، حجم نسبی و درصد حجم نسبی افزایش متوسط تا افزایش قابل توجهی را در مقایسه به گروه کنترل و تابش داشت و هم‌چنین میزان

نانوذره کاملاً به غلظت و یا دوز مورد تزریق نانوذره وابسته است. اما باید مطالعات بیش تری در مورد تاثیر آن بر سایر مدل‌های سرطانی و مدل‌های حیوانی صورت پذیرد.

سپاسگزاری

از حمایت‌های مالی و امکانات سخت‌افزاری معاونت تحقیقات و فناوری دانشگاه علوم پزشکی سمنان، دانشگاه علوم پزشکی شهید بهشتی، بخش تحقیقات حیوانی مرکز آموزشی و پژوهشی قلب شهید رجایی و مرکز پرتودرمانی بیمارستان فیروزگر تشکر می‌شود. یافته‌های این مقاله مربوط به پایان‌نامه کارشناسی ارشد آقای حامد معصومی و بخشی از طرح تحقیقاتی مشترک بین دانشگاه علوم پزشکی سمنان و دانشگاه علوم پزشکی شهید بهشتی می‌باشد.

افزایش در مقدار این سه پارامتر در غلظت 5 mg/kg کم تر از غلظت 10 mg/kg بود. این یافته‌ها می‌تواند بیان‌کننده بی‌تاثیر بودن کریستال روتایل از نانوذره TiO_2 بر روند بهبود درمان در حضور و عدم حضور تابش باشد. پارامتر IR در گروه‌های کریستال روتایل TiO_2 با و بدون تابش به‌طور کلی مقداری منفی و افزایش و کاهش کمی را نشان داد که بی‌اثر بودن این نانوذره در بهبود روند درمان تومور آدنوکارسینومای موش Inbred Balb/C را بیان کرد.

در پایان می‌توان نتیجه‌گیری کرد که کریستال آناناز نانوذره TiO_2 می‌تواند به‌عنوان یک نانوعامل حساس‌کننده پرتویی مناسب در پرتودرمانی تومورهای سرطان پستان به ویژه تومور آدنوکارسینومای داکتال و لوبولار استفاده شده و در دوزهای تابشی کم، نتایج مشابه و قابل قبول با دوز زیاد بدون حضور این عامل حساس‌کننده ایجاد کند. طبق مباحث فوق اثر این

References

1. Stewart B, Wild CP. World Cancer Report 2014. European Society For Medical Oncology, 2015.
2. Torre LA, Bray F, Siegel RL, Ferlay J, Lortet Tieulent J, Jemal A. Global cancer statistics 2012. *CA Cancer J Clin.* 2015; 65(2): 87-108.
3. Siegel RL, Miller KD, Jemal A. Cancer statistics, 2016. *CA Cancer J Clin.* 2016; 66(1): 7-30.
4. Harirchi I, Korbakhsh M, Kashefi A, Momtahn AJ. Breast cancer in Iran: results of a multi-center study. *Asian Pac J Cancer Prev.* 2004; 5(1): 24-27.
5. Sadjadi A, Nouraie M, Mohagheghi MA, Mousavi-Jarrahi A, Malekezadeh R, Parkin D. Cancer occurrence in Iran in 2002, an international perspective. *Asian Pac J Cancer Prev.* 2005; 6(3): 359-363.
6. Rabatic BM. Experimental Therapies in Breast Cancer. *Breast Cancer Biology for the Radiation Oncologist: Springer*; 2014. p. 81-90.
7. Nazemi-Gelyan H, Hasanzadeh H, Makhdumi Y, Abdollahi S, Akbari F, Varshoee-Tabrizi F, et al. Evaluation of Organs at Risk's Dose in External Radiotherapy of Brain Tumors. *Iran J Cancer Prev.* 2015; 8(1): 47-52.
8. Nikoofar A, Hoseinpour Z, Rabi Mahdavi S, Hasanzadeh H, Rezaei Tavirani M. High-Dose-Rate (192)Ir Brachytherapy Dose Verification: A Phantom Study. *Iran J Cancer Prev.* 2015; 8(3): e2330.
9. Nazemi Gelyan H, Makhdumi Y, Nikoofar A, Hasanzadeh H. Measurement of surface dose in external radiotherapy of brain frontal

- lobe: A study on patient and phantom. *Koomesh*. 2016; 17(2): 323-328.
10. Halperin EC, Brady LW, Wazer DE, Perez CA. *Perez & Brady's principles and practice of radiation oncology*. 6th ed. Lippincott: Williams & Wilkins; 2013.
 11. Zabbarova I, Kanai A. Targeted delivery of radioprotective agents to mitochondria. *Mol Interv*. 2008; 8(6): 294-302.
 12. Dolat E, Hasanzadeh H, Rezaei-Tavirany M, Heydari-keshel S, Jabbari-Arfaee A, Seyyedi S, et al. Evaluation of Synergistic Effect of TiO₂ Nanoparticles and Gamma Rays on Human Breast Cancer Cell Line. *J Ilam Univ Med Sci*. 2013; 20(4): 223-230.
 13. Rezaei-Tavirani M, Dolat E, Hasanzadeh H, Seyyedi S-S, Semnani V, Sobhi S. TiO₂ Nanoparticle as a sensitizer drug in radiotherapy: in vitro study. *Iran J Cancer Prev*. 2013; 6(suppl 1): 37-44.
 14. Javvadi P, Segan AT, Tuttle SW, Koumenis C. The chemopreventive agent curcumin is a potent radiosensitizer of human cervical tumor cells via increased reactive oxygen species production and overactivation of the mitogen-activated protein kinase pathway. *Mole Pharmacol*. 2008; 73(5): 1491-1501.
 15. Sarkar A, Ghosh M, Sil PC. Nanotoxicity: oxidative stress mediated toxicity of metal and metal oxide nanoparticles. *J Nanosci Nanotechnol*. 2014; 14(1): 730-743.
 16. Omidi M, Yadegari A, Zali H, Hashemi M, Hasanzadeh H. Cancer cell detection using electrochemical nanobiosensor based on graphene/ gold nanoparticle. *Koomesh*. 2016; 18(1): 211-219.
 17. Fu PP, Xia Q, Hwang H-M, Ray PC, Yu H. Mechanisms of nanotoxicity: generation of reactive oxygen species. *J Drug Anal*. 2014; 22(1): 64-75.
 18. Kwatra D, Venugopal A, Anant S. Nanoparticles in radiation therapy: a summary of various approaches to enhance radiosensitization in cancer. *Translational Cancer Research*. 2013; 2(4): 330-342.
 19. Ren F, Bhana S, Norman DD, Johnson J, Xu L, Baker DL, et al. Gold nanorods carrying paclitaxel for photothermal-chemotherapy of Bioconjug Chem. 2013; 24(3): 376-386.cancer.
 20. Peters K, Unger RE, Kirkpatrick CJ, Gatti AM, Monari E. Effects of nano-scaled particles on endothelial cell function in vitro: studies on viability, proliferation and inflammation. *J Mater Sci Mater Med*. 2004; 15(4): 321-325.
 21. Gurr J-R, Wang AS, Chen C-H, Jan K-Y. Ultrafine titanium dioxide particles in the absence of photoactivation can induce oxidative damage to human bronchial epithelial cells. *Toxicology*. 2005; 213(1-2): 66-73.
 22. Jin C, Tang Y, Yang FG, Li XL, Xu S, Fan XY, et al. Cellular toxicity of TiO₂ nanoparticles in anatase and rutile crystal phase. *Biol Trace Elem Res*. 2011; 141(1-3): 3-15.
 23. Alamolhoda M, Mokhtari-Dizaji M, Barati AH, Hasanzadeh H. Comparing the in vivo sonodynamic effects of dual- and single-frequency ultrasound in breast adenocarcinoma. *J Med Ultrason (2001)* . 2012; 39(3): 115-125.

24. Hasanzadeh H, Mokhtari-Dizaji M, Bathaie SZ, Hassan ZM. Effect of fractionation on treatment outcome in local dual-frequency sonication and Dox-encapsulated nanomicelles. *J Med Ultrason* (2001). 2013; 40(4): 303-308.
25. Hasanzadeh H, Mokhtari-Dizaji M, Bathaie SZ, Hassan ZM, Shahbazfar AA. Dual-frequency ultrasound activation of nanomicellar doxorubicin in targeted tumor chemotherapy. *J Med Ultrason*. 2014; 41(2): 139-150.
26. Spiegel MR, Liu J. *Mathematical Handbook of Formulas and Tables*. New York: McGraw-Hill, 1999.
27. Vijaya Shanti B. *Novel Applications of Nanotechnology in Life Sciences*. *J Bioanal Biomed*. 2011; S11.
28. Robertson F, Ferrari M. Introduction and rationale for nanotechnology in cancer therapy. *Nanotechnology for Cancer Therapy*. Taylor & Francis Group : 2006; 1-10.
29. Crabtree RH. A new type of hydrogen bond. *Science*. 1998; 282(5396): 2000-2001.
30. Tyagi A, Raj B. Physics and chemistry of photocatalytic titanium dioxide: visualization of bactericidal activity using atomic force microscopy. *Current Science*. 2006; 90(10):1378-1383.
31. Hussain S, Hess K, Gearhart J, Geiss K, Schlager J. In vitro toxicity of nanoparticles in BRL 3A rat liver cells. *Toxicol In Vitro*. 2005; 19(7): 975-983
32. Park S, Lee YK, Jung M, Kim KH, Chung N, Ahn E-K, Lim Y, Lee K-H. Cellular toxicity of various inhalable metal nanoparticles on human alveolar epithelial cells. *Inhalation toxicology* 2007; 19: 59-65
33. Lammers T, Kiessling F, Hennink WE, Storm G. Drug targeting to tumors: principles, pitfalls and (pre-) clinical progress. *J Control Release*. 2012; 161(2): 175-187.
34. Lagopati N, Kitsiou P, Kontos A, Venieratos P, Kotsopoulou E, Kontos A, et al. Photo-induced treatment of breast epithelial cancer cells using nanostructured titanium dioxide solution. *J Photoch Photobio A*. 2010; 214(2-3): 215-223
35. Ashikaga T, Wada M, Kobayashi H, Mori M, Katsumura Y, Fukui H, et al. Effect of the photocatalytic activity of TiO₂ on plasmid DNA. *Mutat Res*. 2000; 466(1): 1-7.